

Proiect SAE

Nume: Popescu Mihai-Daniel
Grupa: 1305B
Profesor îndrumător: Alexandru Onea

Date inițiale de proiectare

Având dată instalația de laborator – aeroterma cu traductor de temperatura, să se proiecteze un regulator astfel încât sistemul în buclă închisă să satisfacă cerințele :

- ➔ Eroare staționară nulă
- ➔ Suprareglarea mai mică de 5%
- ➔ Durata regimului tranzitoriu mai mică de 75 de secunde.

Proiectarea se face prin două metode :

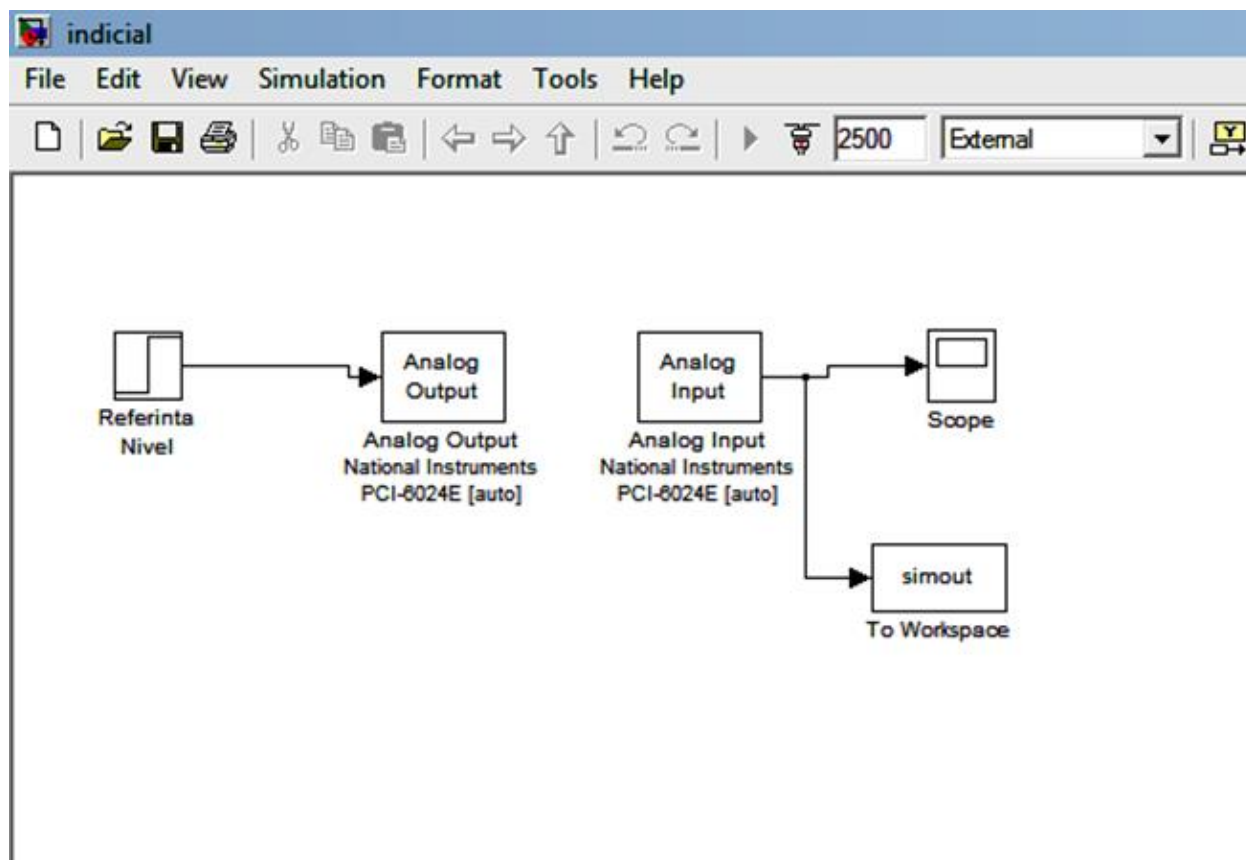
- A. Alocare de poli
- B. Proiectare directă în domeniul timp

Etape de proiectare :

- ✓ Determinarea răspunsului indicial al procesului
- ✓ Determinarea funcției de transfer a părții fixate $G_p(s)$
- ✓ Alegerea perioadei de timp de eșantionare și discretizarea funcției de transfer a părții fixate
- ✓ Verificarea prin simulare a modelului obținut
- ✓ Proiectarea regulatorului pe baza modelului părții fixate și a funcției de transfer în buclă închisă determinat pe baza performanțelor impuse
- ✓ Verificarea prin simulare a componentelor sistemului în buclă închisă
- ✓ Verificarea sistemului în buclă închisă în timp real pe instalația de laborator.

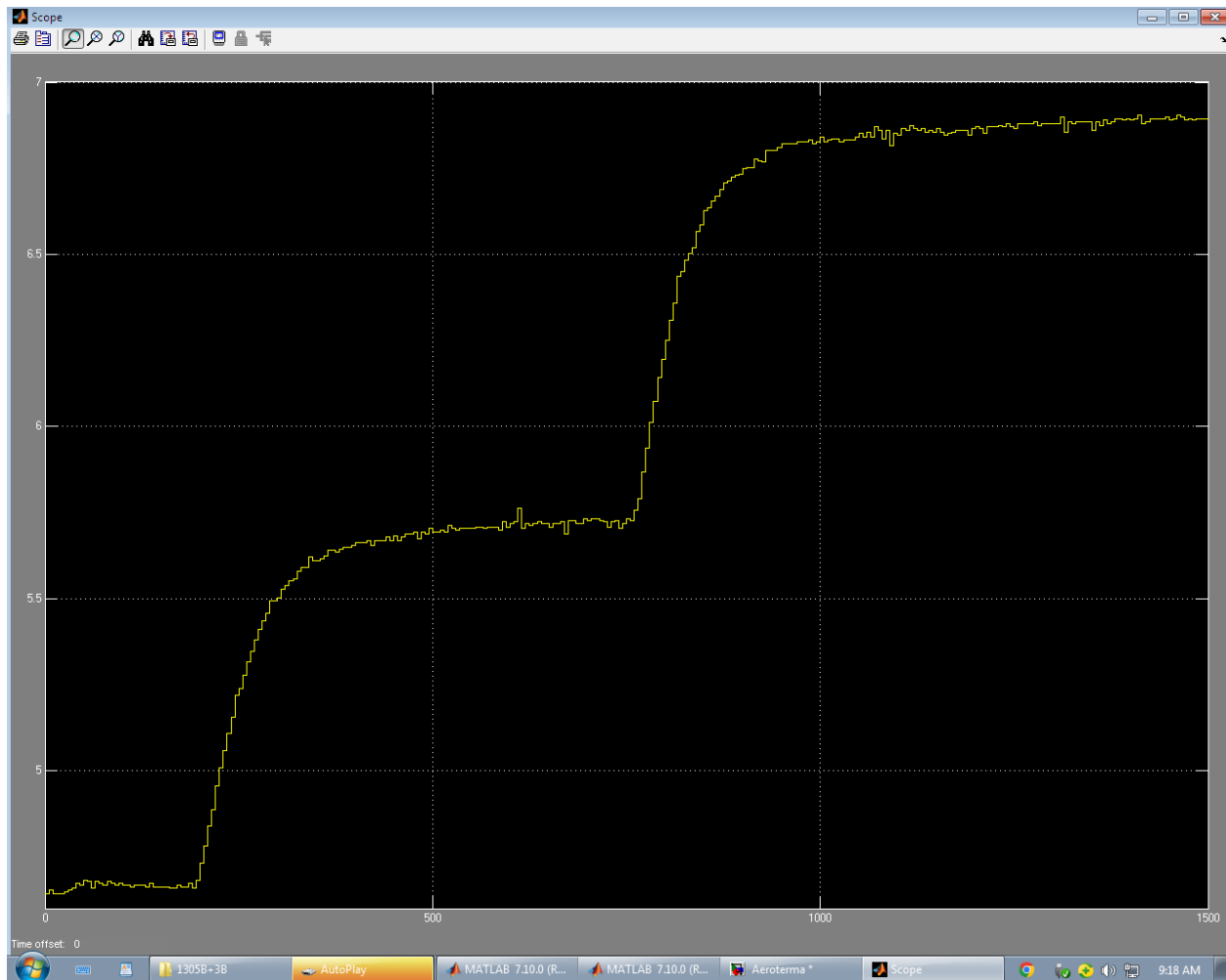
Etapele de lucru:

1) Determinarea raspunsului indicial:

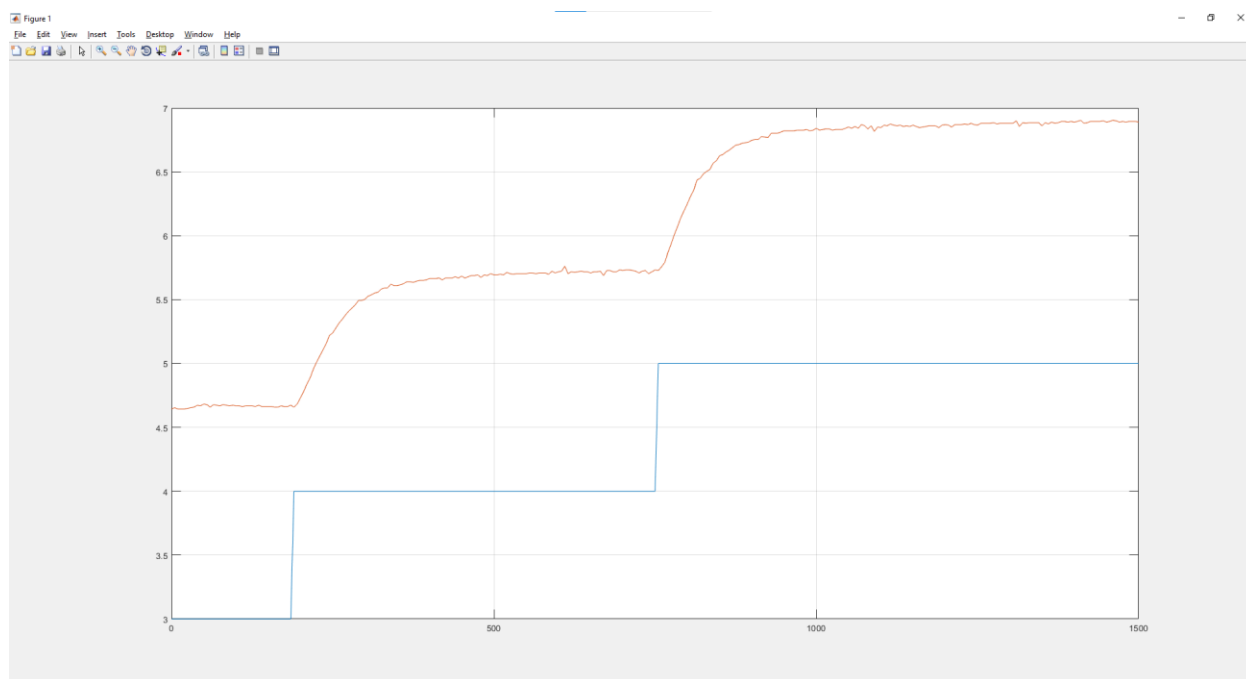


Semnalele de intrare au fost trepte de mărimi diferite, aplicate la anumite momente de timp, pentru a determina funcția de transfer a părții fixate.

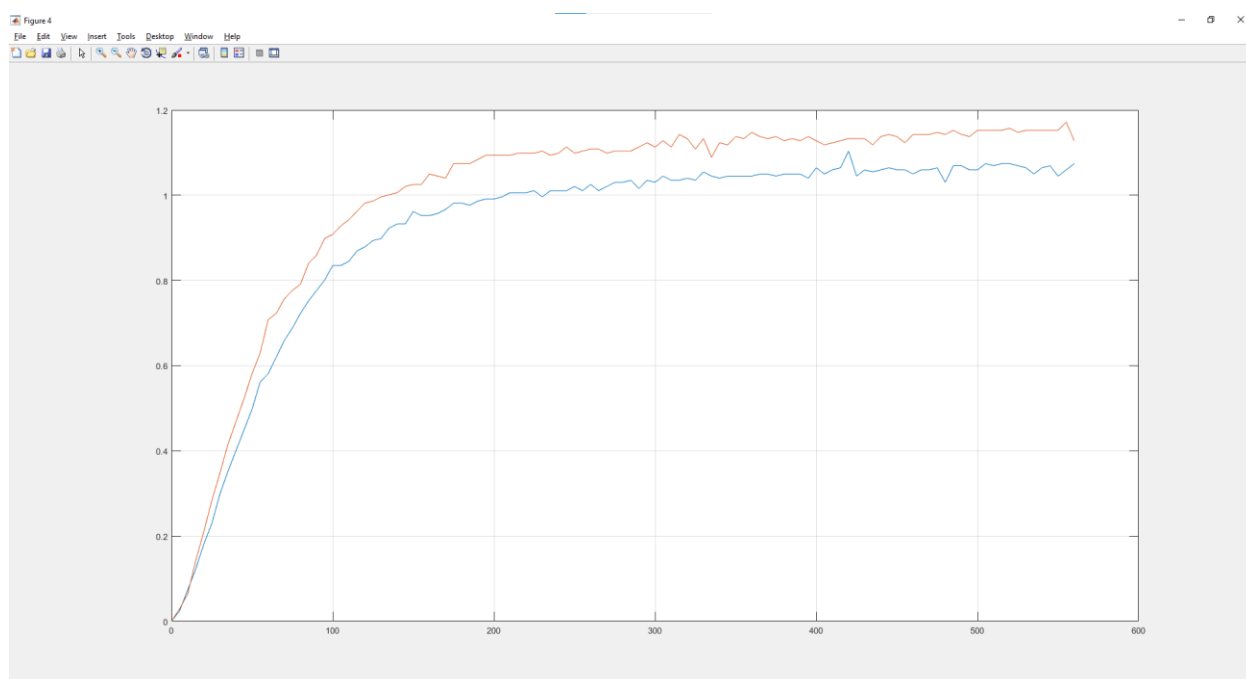
În urma simulării am obținut următorul grafic:



În figura următoare putem observa cu albastru semnalul treapta, iar cu roșu răspunsul indicial al părții fixate:



În figura ce urmează sunt prezentate cele 2 răspunsuri indiciale la semnalul treapta de la 3 la 4 și de la 4 la 5, care au fost aduse în origine, cel cu roșu a fost actualizat cu același număr de valori ca cel albastru.

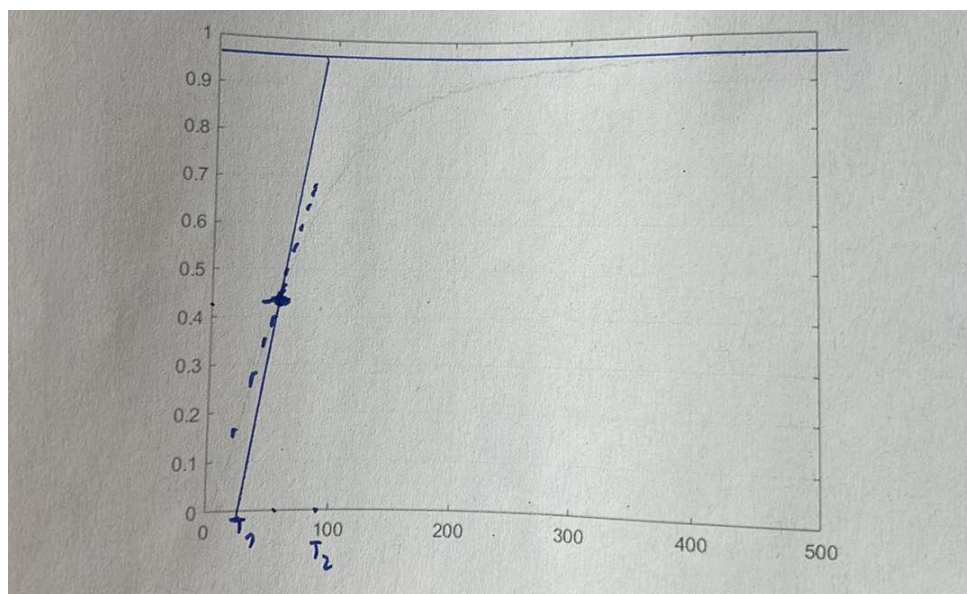


2) Determinarea funcției de transfer a părții fixate

Se determina parametrii caracteristici părții fixate (constatele de timp: T_1 și T_2 și factorul de amplificare: K_p) pentru a identifica funcția de transfer de forma:

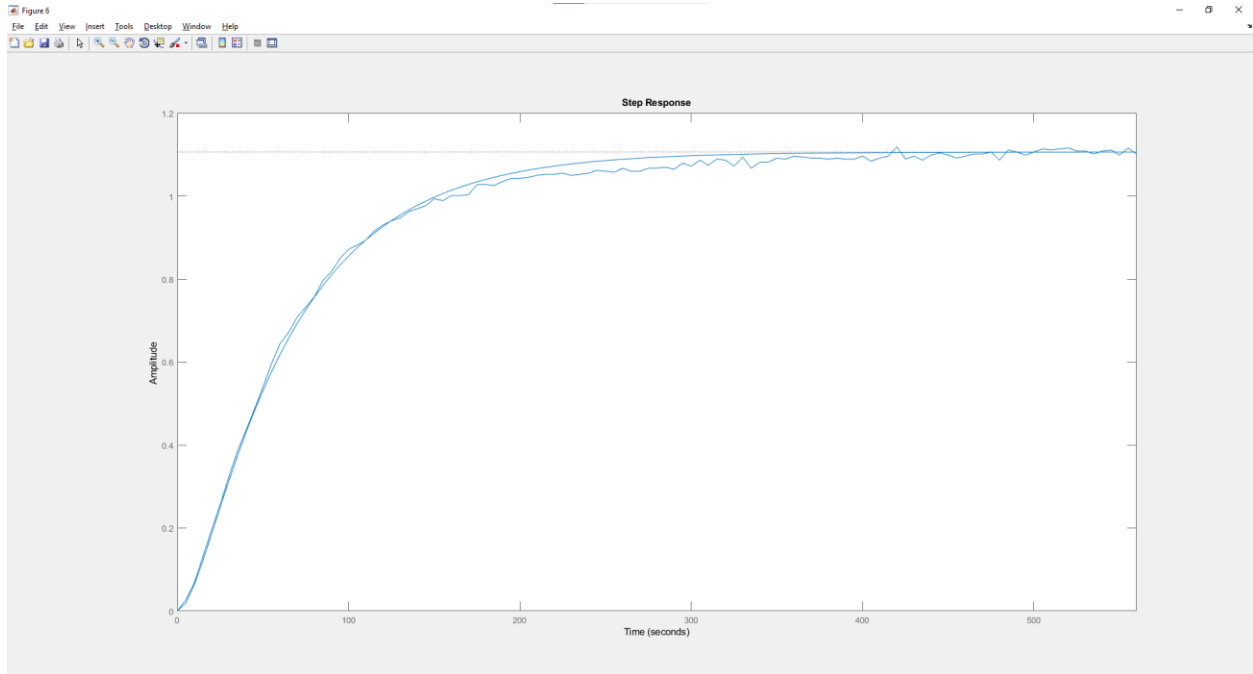
$$G_p(s) = \frac{K_p}{(s \cdot T_1 + 1)(s \cdot T_2 + 1)}$$

G_p va fi aproximat cu un sistem de ordin 2 cu poli reali.



Aflarea constantei T_1 se realizeaza prin intersecția tangentei cu abscisa.

Aflarea constantei T_2 se realizeaza prin intersectia tangentei cu dreapta paralela cu abscisa determinata de valoarea de regim stationar.



În figura de mai sus, peste răspunsului indicial mediu(media dintre răspunsurile celor 2 trepte) s-a aplicat $G_p(s)$ cu $T_1=10s$, $T_2=60s$ și $K_p=1.106$ (calculat ca fiind media ultimelor 6 valori ale răspunsului indicial mediu)

$$G_p(s) = \frac{1,106}{(10 \cdot s + 1)(60 \cdot s + 1)}$$

3) Alegerea perioadei de timp de eșantionare și discretizarea funcției de transfer a părții fixate

Timpul de creștere este calculat de la $0.05 \cdot y_{st}$ până la $0.95 \cdot y_{st}$, reieșind $t_{cr} = 100s$, iar perioada de esantionare $T_s \in \left[\frac{1}{20} \cdot t_{cr}, \frac{1}{5} \cdot t_{cr} \right]$
S-a ales perioada de $T_s=5s$;

În urma apelării funcției c2d(discretizează funcția de transfer) în Matlab, rezultă:

$$G_p(z) = \frac{0.01908 \cdot z + 0.01571}{z^2 - 1.527 \cdot z + 0.558}$$

4) Proiectarea regulatorului pe baza modelului părții fixate și a funcției de transfer în buclă închisă determinat pe baza performanțelor impuse

A. Alocare de poli

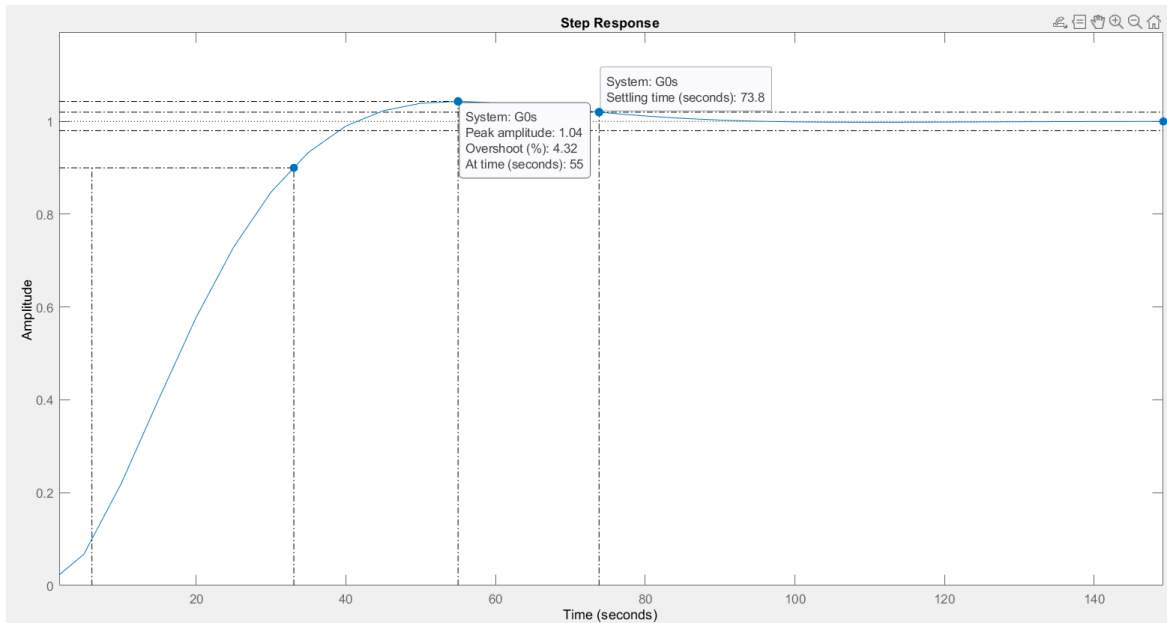
$$\delta = \frac{\sqrt{2}}{2}, t_t = 70 < 75 \text{ (pentru a respecta performanțele impuse)}$$
$$\omega_0 = \frac{4}{t_t \cdot \varepsilon} = 0.0808 \text{ rad/s}$$

Funcția de transfer a sistemului în buclă închisă

$$G_0(s) = \frac{\omega_0^2}{s^2 + 2 \cdot \delta \cdot \omega_0 \cdot s + \omega_0^2} = \frac{0.006531}{s^2 + 0.1143 \cdot s + 0.006531}$$

În figura următoare este reprezentată $G_0(s)$

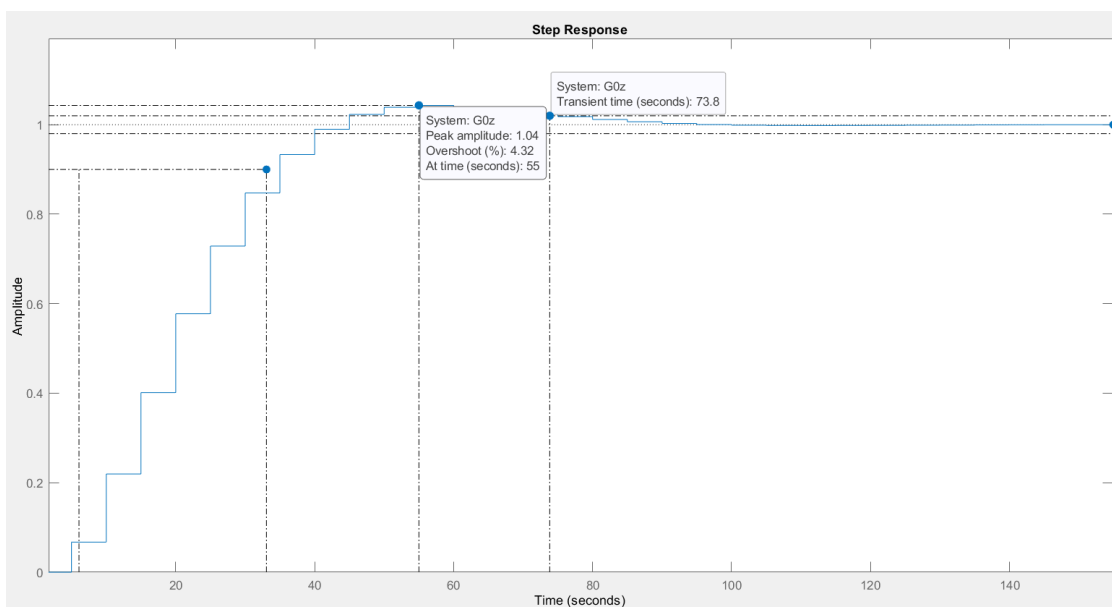
UNIVERSITATEA TEHNICĂ "GHEORGHE ASACHI" IAȘI
FACULTATEA DE AUTOMATICĂ ȘI CALCULATOARE



Discretizăm $G_0(s)$ cu funcția c2d și perioada de eșantionare T_s

$$G_0(z) = \frac{0.06719 \cdot z + 0.0555}{z^2 + 1.442 \cdot z + 0.5647}$$

În figura următoare este reprezentată $G_0(z)$



$$\sigma = 4.33\% < 5\%$$

$$t_t = 73.8s < 75s$$

$$\varepsilon = 0$$

Calculul funcției de transfer a regulatorului

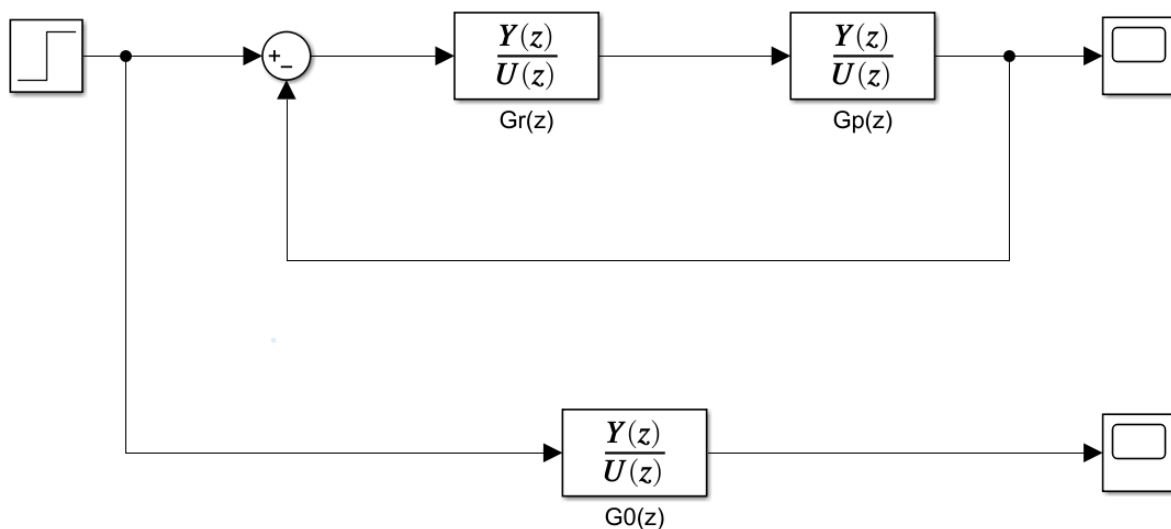
$$G_r(z) = \frac{G_0(z)}{G_p(z) \cdot (1 - G_0(z))}$$

După înlocuire

$$G_r(z) = \frac{3.521 \cdot z^3 + 2.467 \cdot z^2 + 2.476 \cdot z + 1.623}{z^3 + 0.6857 \cdot z^2 + 0.7336 \cdot z + 0.4193}$$

Verificarea prin simulare a componentelor sistemului în buclă închisă

- Schema Simulink

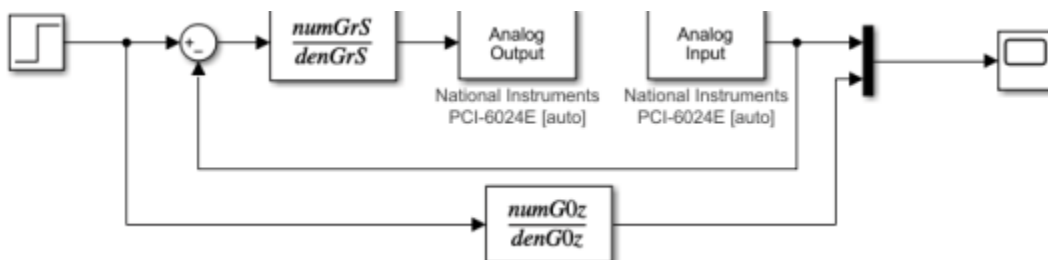


- Rezultatul afișat în Scope

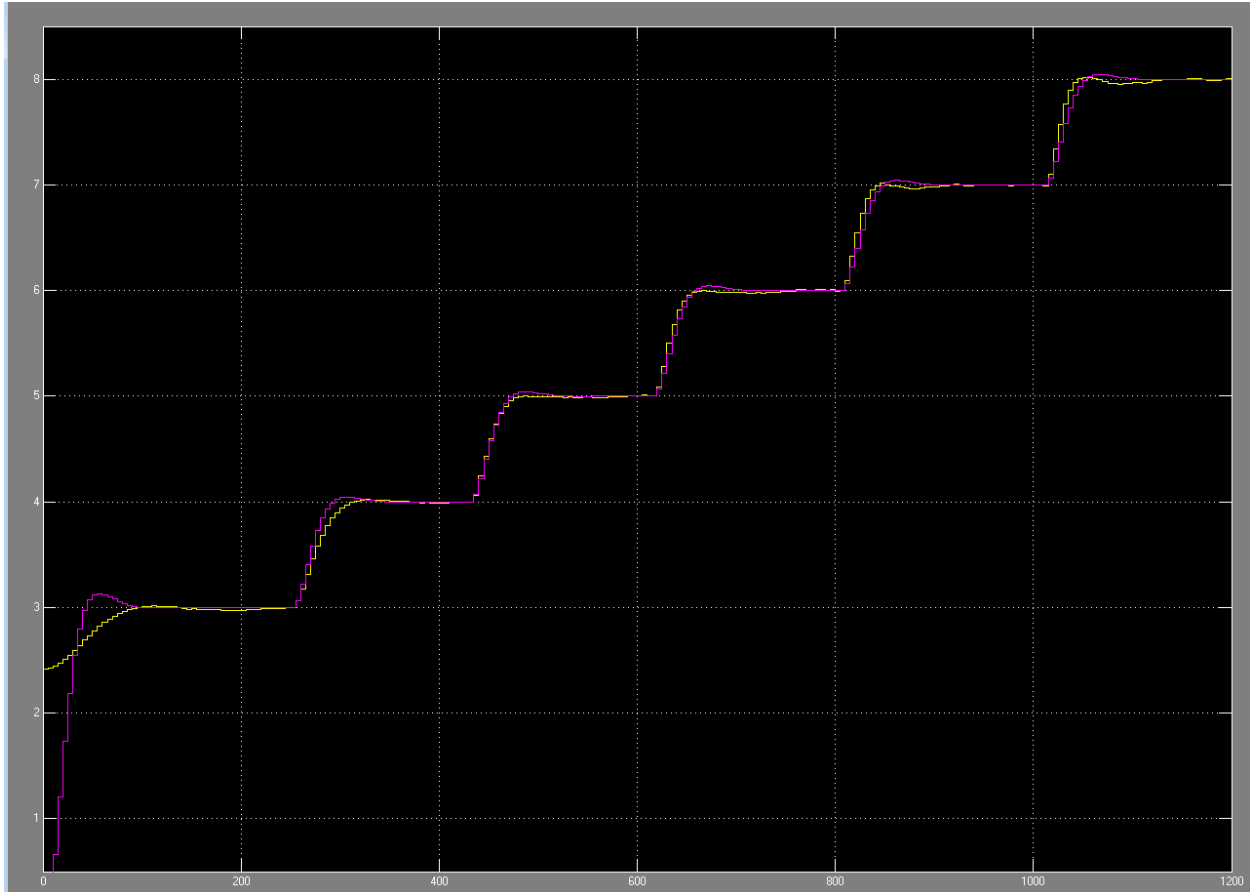


Verificarea sistemului în buclă închisă în timp real pe instalația de laborator

- Schema Simulink



- Rezultatul afișat in Scope



În concluzie, după testarea în timp real, se observă că regulatorul proiectat satisface cerințele inițiale, semnalul cu galben fiind răspunsul indicial la 5 drepte diferite a regulatorului cu partea fixată, iar semnalul mov fiind ieșirea de pe instalație.

B. Proiectare directă în domeniul timp

- Se consideră noua perioadă de eșantionare $T_{s2} = 15s$.

Astfel, când are loc dicretizarea cu ajutorul funcției c2d:

$$G_{p2}(z) = \frac{0.1217 \cdot z + 0.06833}{z^2 + 1.002 \cdot z + 0.1738}$$

$G_{02}(z)$ se determina prin impunerea comportării dorite, astfel, se aleg:

$$y(1T)=0.4014;$$

$$y(2T)=0.8475;$$

$$y(3T)=1.023;$$

$$y(4T)=1.04;$$

$$y(kT)=1, \text{ oricare ar fi } k>4.$$

Parametrii numărătorului lui $G_0(z)$:

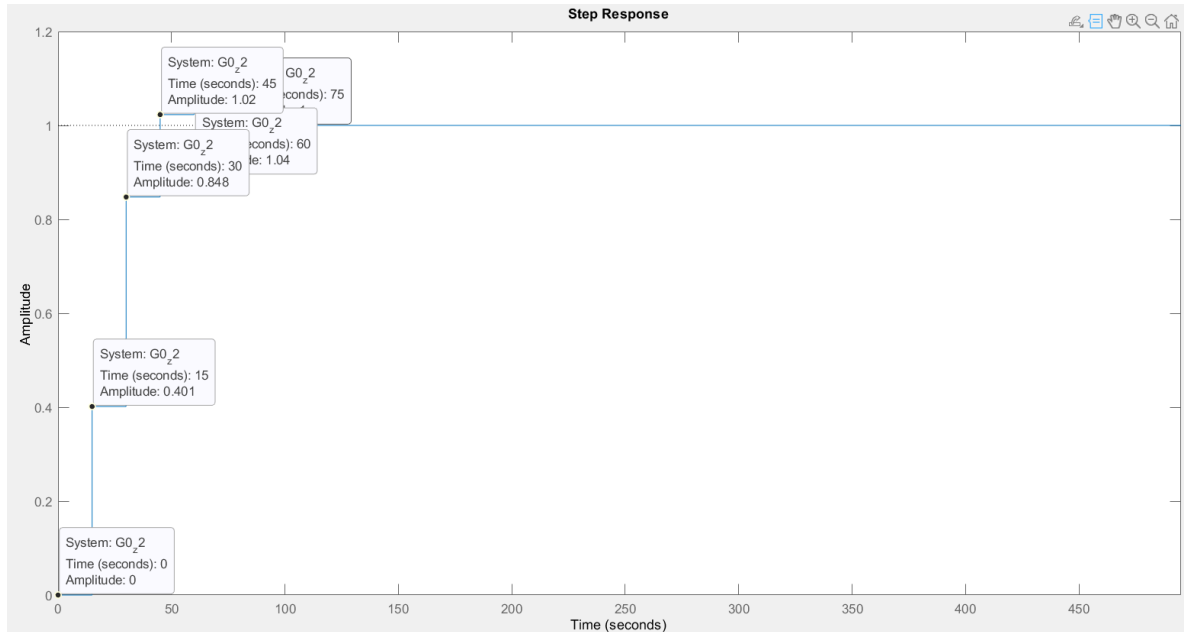
$$p1=y1-0=0.4014;$$

$$p2=y2-y1=0.4461;$$

$$p3=y3-y2=0.1755;$$

$$p4=y4-y3=0.0170;$$

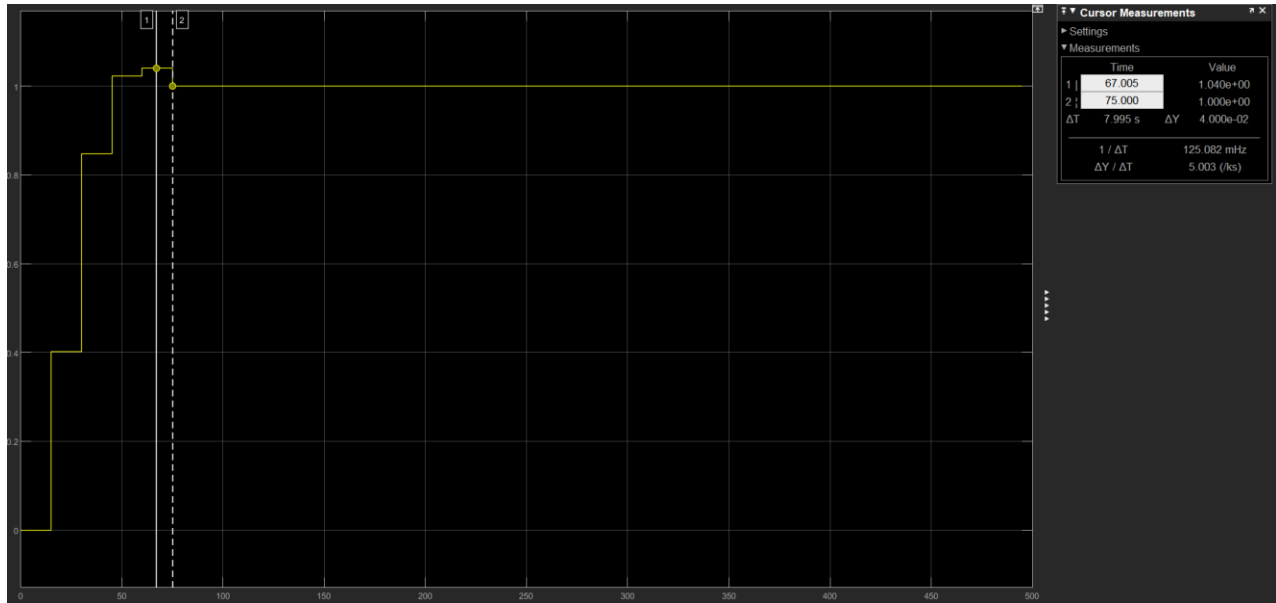
$$p5=y5-y4=-0.04;$$



Deci noul $G_{02}(z)$ este:

$$G_{02}(z) = \frac{0.4014 \cdot z^4 + 0.4461 \cdot z^3 + 0.1755 \cdot z^2 + 0.017 \cdot z - 0.04}{z^5}$$

În figura de mai jos este reprezentat $G_{02}(z)$ in Scope, care se observă ca respectă condițiile impuse.



Calculăm noul $G_{r2}(z)$:

$$G_{r2}(z) = \frac{G_{02}(z)}{G_{p2}(z) \cdot (1 - G_{02}(z))}$$

Gr_z2 =

$$\frac{3.297 z^6 + 0.3608 z^5 - 1.657 z^4 - 0.668 z^3 - 0.218 z^2 + 0.3535 z - 0.0571}{z^6 + 0.1599 z^5 - 0.6714 z^4 - 0.4259 z^3 - 0.1155 z^2 + 0.03046 z + 0.02245}$$

Verificarea sistemului în buclă închisă în timp real pe instalația de laborator



În concluzie, după testarea în timp real, se observă că regulatorul proiectat satisface cerințele inițiale, semnalul cu galben fiind răspunsul indicial la 5 dreptei diferite a regulatorului cu partea fixată, iar semnalul mov fiind ieșirea de pe instalație.